

ФОРМИРОВАНИЕ РАЗБАВЛЕННЫХ ТВЕРДЫХ РАСТВОРОВ В СИСТЕМЕ Cu-Zn

© 2005 г. Ю.М. Бондарев, Е.Г. Гончаров, А.П. Левенец, Л.И. Соколов

Воронежский государственный университет

В системе медь-цинк методом измерения концентрационной зависимости электрофизических параметров образцов системы зафиксирована область твердых растворов (2-4 мольн. % Zn) с экстремальным изменением свойств.

Проведенные измерения постоянной решетки, позволили рассчитать разность концентраций собственных точечных дефектов в образцах и предложить механизм формирования твердого раствора в этой концентрационной области.

ВВЕДЕНИЕ

Свойства непрерывных твердых растворов в металлических системах обычно отображаются параболой, выпуклость которой направлена к оси абсцисс, или в противоположном направлении. Последние исследования [1, 2] показали, что данная закономерность не учитывает процессы, проявляющиеся при формировании твердого раствора вблизи чистых компонентов, когда концентрация примеси составляет не более 1-2-х мольн. %. С учетом этого фактора изотермы свойств таких систем приобретают более сложный характер: на их параболической зависимости появляются экстремумы вблизи ординат чистых компонентов. Природа этого явления в настоящее время еще не окончательно выяснена. Однако достоверно можно утверждать, что при небольших концентрациях примеси определенную роль в формировании твердого раствора играют точечные дефекты основного компонента системы. Механизм их взаимодействия с атомами примеси может быть различным в зависимости от типа химической связи компонентов системы, соотношения атомных размеров и других факторов.

Данная работа продолжает исследования твердых растворов на основе меди [3]. Представляет интерес изучение процесса легирования меди примесью как с меньшим (никель), так и с большим атомным радиусом по отношению к исходной матрице. В качестве такой примеси был выбран цинк, что, кроме теоретического интереса, позволяло более полно оценить практическое использование латуней.

Поэтому целью настоящей работы являлось изучение некоторых свойств сплавов системы Cu-Zn вблизи ординаты чистой меди для получения информации об участии точечных дефектов основного ком-

понента (меди) в формировании разбавленных твердых растворов на его основе.

ЭКСПЕРИМЕНТАЛЬНАЯ ЧАСТЬ

Поиск аномальной области твердых растворов в системе Cu-Zn был проведен по апробированной в предыдущих работах [3, 4] методике с помощью выращивания монокристалла переменного состава.

Рассчитанный с учетом коэффициента распределения цинка в меди ($k_{Zn}=0,72$) первоначальный состав шихты ($Cu_{0,75}Zn_{0,15}$), обеспечивал расположение концентрационного интервала до 5 ат.% цинка на линейном участке кривой теоретического распределения примеси в монокристалле (рис.1). Выращивание кристалла осуществляли в вакуумированной кварцевой ампуле (масса общей загрузки $4 \cdot 10^4$ кг) скорость кристаллизации составляла 20 мм/час. При выращивании монокристалла использовались: медь М006 (ГОСТ 859–2001) и цинк – ЦВ (ГОСТ 3640-94). Цинк перед употреблением подвергался дополнительной очистке методом вакуумной дистилляции. Компоненты взвешивались на весах ВЛР-200 с точностью $\pm 1,5 \cdot 10^{-8}$ кг.

В дальнейшем на полученном монокристалле $Cu_{0,75}Zn_{0,15}$ были проведены измерения распределения удельного сопротивления ρ вдоль слитка (рис.2). Из графика видно, что по мере роста кристалла, удельное сопротивление увеличивается вследствие увеличения концентрации цинка. Изменение удельного сопротивления с изменением концентрации второго компонента в целом хорошо коррелирует с графиком теоретического распределения примеси (цинка) при зонной плавке (рис.1). Между тем важно отметить, что на графике распределения удельного сопротивления вдоль длины выращенного монокристалла отчетливо (за пределами ошибки изме-

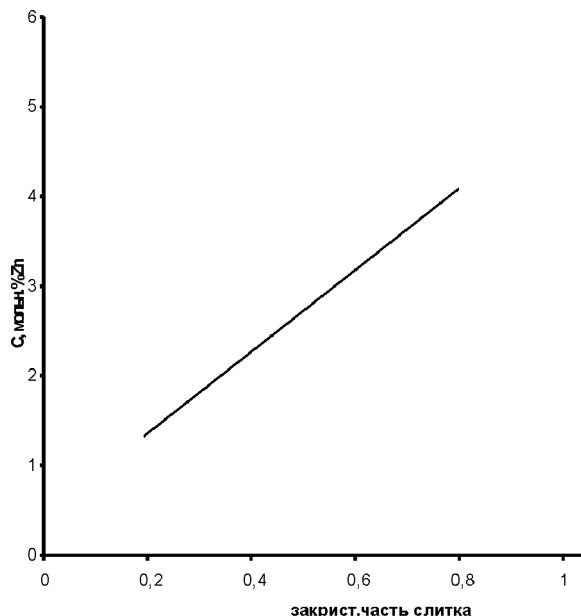


Рис. 1. Теоретическое распределение примеси (цинка) вдоль средней части слитка при выращивании монокристалла $\text{Cu}_{0,75}\text{Zn}_{0,15}$ методом зонной плавки ($k_{\text{Zn}}=0,72$).

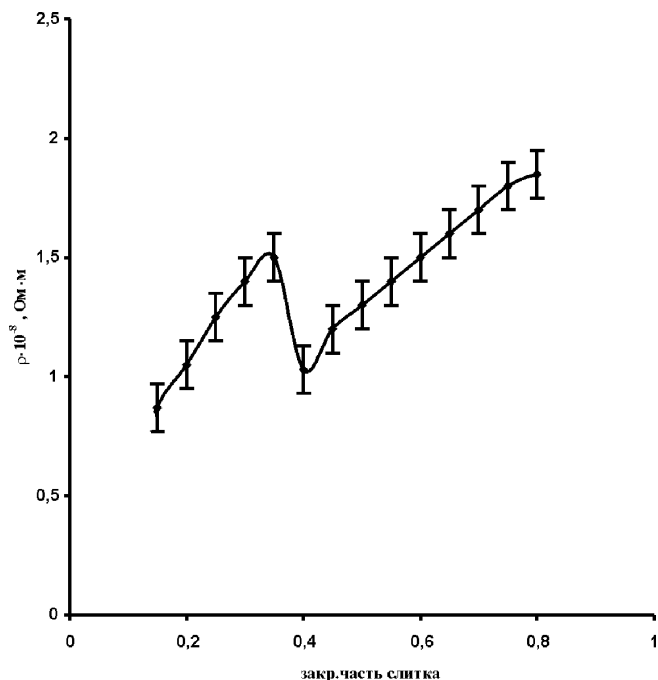


Рис. 2. Распределение удельного сопротивления вдоль длины монокристалла $\text{Cu}_{0,75}\text{Zn}_{0,15}$, выращенного методом зонной плавки.

рения) фиксируется экстремум. Сопоставляя область расположения экстремальных значений удельного сопротивления с теоретическим распределением примеси (цинка) вдоль слитка, ориентировочно оценили интервал составов (2-4 мольн. % Zn), обладающий аномально малыми значениями ρ .

Для более точного определения концентраций, в

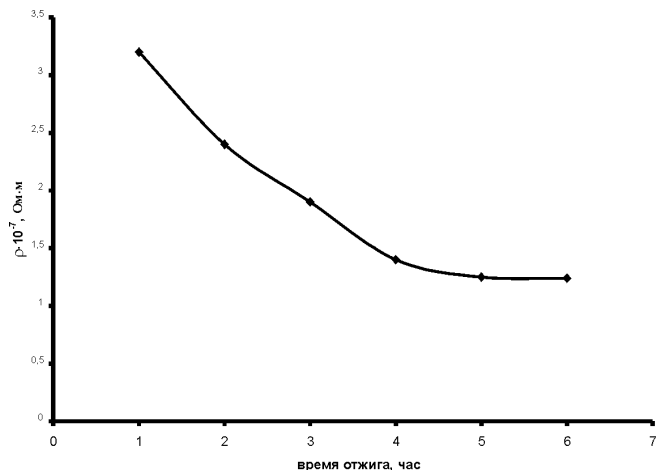


Рис. 3. Зависимость величины удельного сопротивления пленки (состав $\text{Cu}_{0,925}\text{Zn}_{0,075}$) от времени термообработки.

которых проявляются аномальные свойства, была приготовлена серия пленочных образцов системы Cu-Zn в концентрационной области от 2 до 5 мольн. % цинка с шагом $\sim 0,5$ мольн. %, а также несколько образцов в области сравнительно больших концентраций цинка (до 12 мольн. %) для выяснения общей тенденции изменения свойств.

Тонкопленочные образцы получали методом послойного термического испарения компонентов на вакуумной установке ВУП-5. В рабочем объеме установки поддерживался вакуум $1,5 \cdot 10^{-5}$ мм.рт.ст. Напыление осуществляли на подложки из оптического стекла (15 кл. обработки). Нагревателями служили tantalовые и молибденовые лодочки. Толщина получаемых пленок составляла $1,5 \pm 0,5$ мкм. Состав получаемой пленки твердого раствора $\text{Cu}_{1-x}\text{Zn}_x$ определяли методом взвешивания по фактическому привесу компонентов.

Важным моментом при проведении гомогенизирующего отжига двухслойных пленок является выбор критерия установления равновесия. В нашей работе таким критерием служил момент достижения постоянства электрофизических свойств пленок.

Для исследования влияния термообработки на свойства тонкопленочных образцов твердых растворов использовали приставку к установке ВУП-5 на основе галогенных ламп, позволявшую проводить длительные термические отжиги получаемых пленок в условиях высокого вакуума. На рис.3 представлены результаты изменения удельного сопротивления пленки после различного времени термообработки при температуре, близкой температуре плавления цинка. Из графика видно, что при увеличении времени отжига свыше 5 часов удельное сопротивление уже практически не изменяется. Исходя из этого, все тон-

ФОРМИРОВАНИЕ РАЗБАВЛЕННЫХ ТВЕРДЫХ РАСТВОРОВ В СИСТЕМЕ CU-ZN

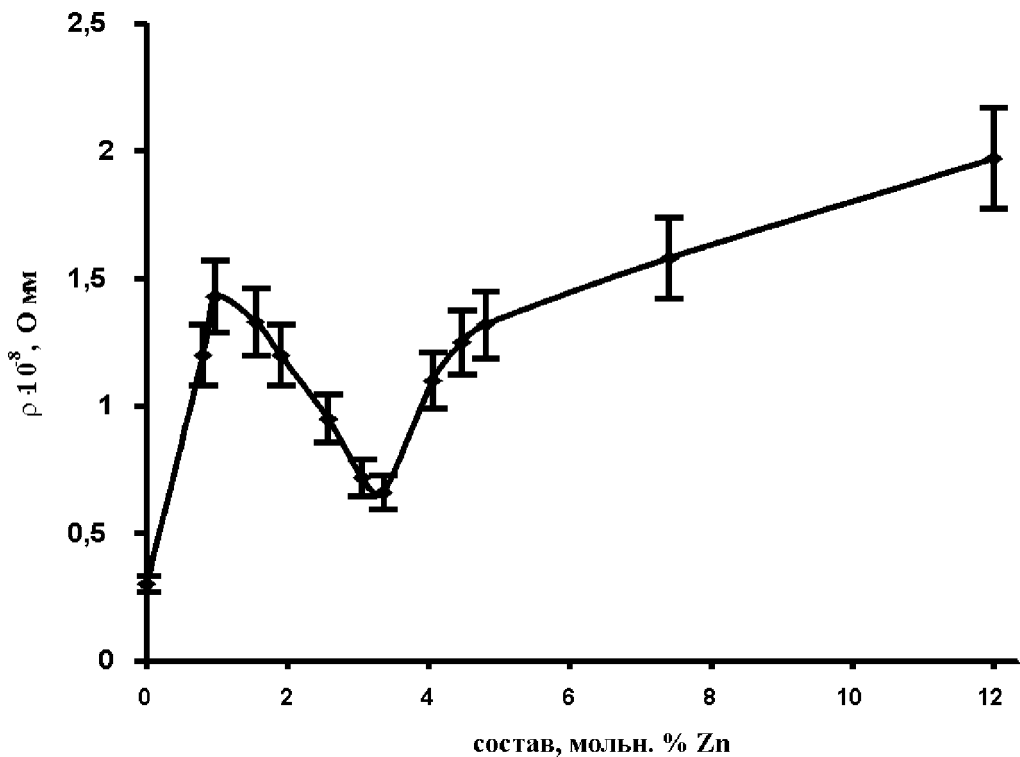


Рис. 4. Концентрационная зависимость удельного сопротивления пленочных образцов системы Cu-Zn.

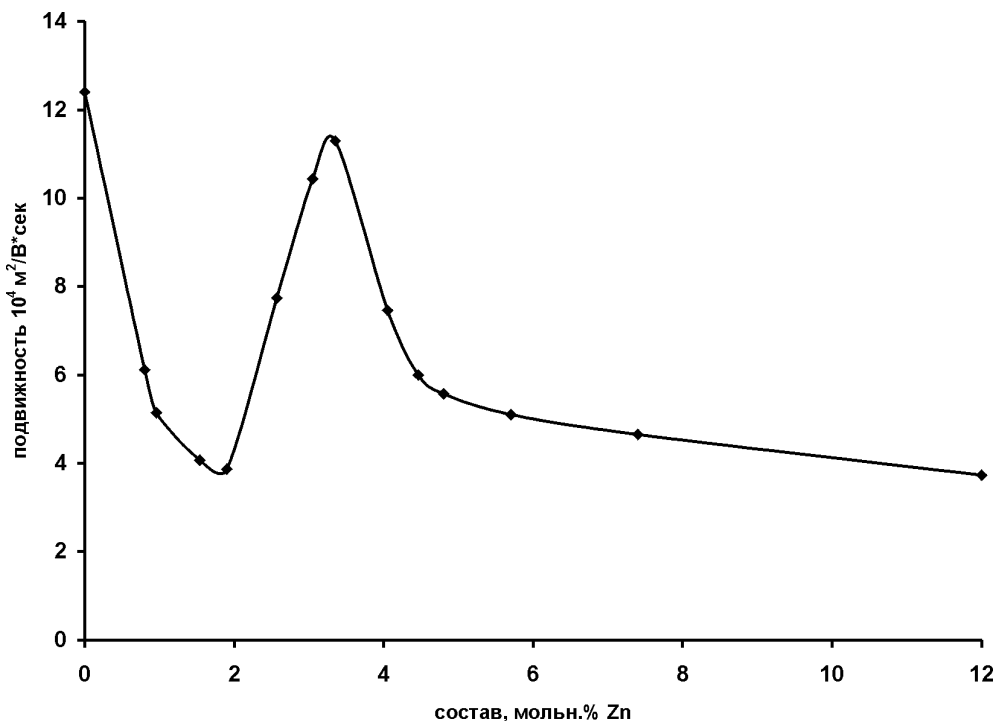


Рис. 5. Концентрационная зависимость подвижности носителей тока в пленках системы Cu-Zn.

копленочные образцы медь-цинк для отжигались при температуре 573 К в течение 5 часов.

На полученных образцах методом Вальдеса провели измерения удельного электрического сопротивления, результаты которых в виде графика приведены на рис.4. Также на этих образцах определили,

что в области проявления аномалий пленки имели *n*-тип проводимости. Учитывая, что для металлических систем характерно постоянство концентрации носителей тока (*n*), рассчитали их подвижность (μ) из соотношения: $\sigma = e \cdot n \cdot \mu$. Результаты расчета приведены на рис.5.

Кроме того, определялся параметр “*a*” элементарной ячейки кристаллической решетки синтезированных образцов. Рентгенографические исследования выполняли на многоцелевом дифрактометре “ДРОН-ЗМ”. Использовалось фильтрованное CuK_α -излучение, имеющее длину волны $\lambda=0,15408 \text{ нм}$. Для увеличения точности рентгеновского определения параметров решетки, съемку рефлексов проводили на увеличенных брэгговских углах ($\Theta > 60^\circ$) в дискретном режиме с шагом $0,1^\circ$ и временем экспозиции в каждой точке 10 с. Ошибка в определении параметров элементарной ячейки твердого раствора определялась по отклонению экспериментальных значений для каждого отражения от теоретической экстраполяционной прямой. При этом погрешность определения межплоскостных расстояний исследуемых образцов не превышала $\pm 2 \cdot 10^{-5} \text{ нм}$. При расшифровке дифрактограмм использовали табличные данные ASTM.

По результатам проведенного рентгеноструктурного анализа образцов твёрдых растворов Cu-Zn, на концентрационной зависимости параметра “*a*” элементарной ячейки в области составов 2,5-4 мольн. % цинка обнаружено аномальное уменьшение значений (рис.6).

ОБСУЖДЕНИЕ РЕЗУЛЬТАТОВ

Полученные в работе результаты позволили создать рабочую гипотезу, которая заключается в участии собственных точечных дефектов меди в формировании твердого раствора медь-цинк. Для доказательства этого требовалось оценить характер точечных дефектов

матрицы – вакансий или междуузельных атомов.

На основе имеющихся данных, и в предположении постоянства плотности образцов (в качестве первого приближения) был проведен расчет изменения концентрации дефектов в связи с появлением примеси (ΔN). При расчете использовали формулу [5], справедливую для кубической решетки, согласно которой отрицательный знак ΔN соответствует вакансационному механизму дефектообразования, а положительный – появлению примесных атомов в междуузлиях.

Результаты расчета приведены на рис. 7 и, как видно из графика, процессы дефектообразования в твердых растворах на основе меди приводят к смене знака ΔN в узкой области концентраций. Этот факт может быть интерпретирован следующим образом: при определенной концентрации примеси оказывается деформационное влияние цинка, приводящее к уменьшению энтальпии образования вакансий в решетке меди и стимулирующее их дополнительную генерацию. На кривой $\Delta N=f(x)$ этот процесс отражается появлением экстремума: абсолютная величина ΔN растет, но при этом имеет отрицательный знак, что свидетельствует о вакансационном характере процесса дефектообразования. Это подтверждает вывод о росте концентрации вакансий в этой области твердых растворов.

Начиная с состава, равного 1,5 мольн. % Zn, наблюдается интенсивный процесс взаимодействия атомов примеси с вакансиями с образованием комплексов вакансия-примесь. Это происходит, когда

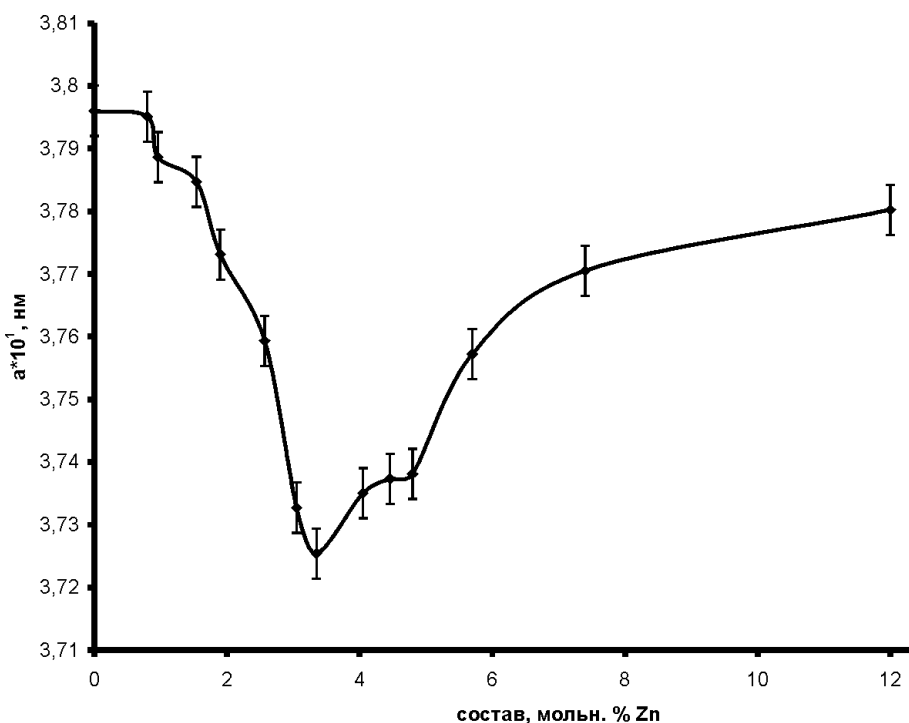


Рис. 6. Концентрационная зависимость параметра «*a*» кристаллической решетки системы Cu-Zn.

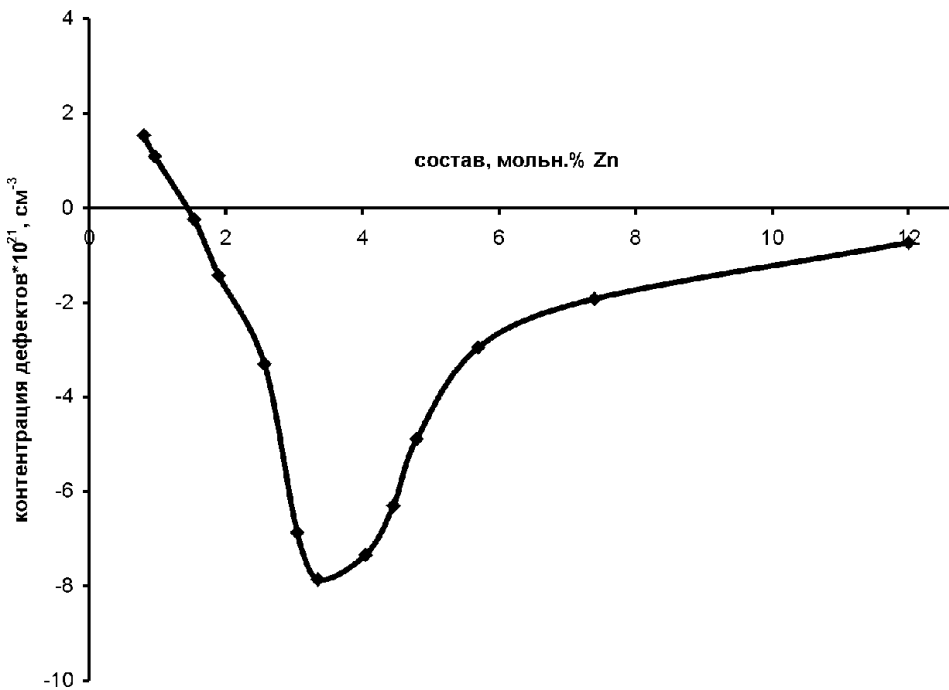


Рис. 7. Разностная концентрация дефектов ΔN в пленках системы Cu-Zn.

концентрация примеси становится соизмеримой с концентрацией вакансий и расстояние между ними сокращается до определенной (критической) величины. Данный процесс соответствует уменьшению постоянной решетки образцов, что предположительно связано с образованием упорядоченной кластерной структуры. Удельное сопротивление при этом начинает падать вследствие уменьшения барьерного рассеяния носителей тока и достигает минимума при определённом соотношении взаимодействующих компонентов (рис.4). Дальнейшее легирование примесью (больше $\sim 3,5$ мольн. %) приводит к росту удельного сопротивления, так как сверхстехиометрическая примесь увеличивает рассеяние носителей тока (рост барьерного рассеяния), т.е., происходит обычное статистическое замещение атомов меди цинком без определяющего влияния собственных точечных дефектов матрицы, что и отражает монотонный (без “всплесков”) характер изменения свойств. На кривой $\Delta N=f(x)$ это проявляется стремлением ΔN к нулевому значению.

Об определенной упорядоченности системы, которой способствует образование кластеров, свидетельствует и рост подвижность носителей (рис.5) при условии постоянной концентрации электронов (что характерно для металлических систем).

Следует отметить, что образование экстремумов на кривых состав-свойство в разных системах происходит при различной концентрации примеси, что находится в прямой зависимости от соотношения

размера атомов примеси и основного компонента. Так, в системе Cu-Ni радиусы атомов меди и никеля примерно одинаковые. Поэтому появление экстремумов на изотермах свойств наблюдается при достаточно малых концентрациях легирующей примеси (1-2 мольн. %), когда её атомы сближаются до расстояний, в несколько ангстрем. В то же время в твердых растворах исследуемой системы Cu-Zn, где примесь имеет размер атома меньше чем у меди, экстремальное поведение твердого раствора обнаруживается при более высоких концентрациях цинка – порядка 2-4 мольных процентов.

ЗАКЛЮЧЕНИЕ

Представляет интерес сравнение экстремумов на изотермах параметров решетки в системах Cu-Ni и Cu-Zn. Если в системе Cu-Ni кристаллическая структура компонентов полностью идентична (ГЦК), то в системе Cu-Zn решетки отличаются друг от друга (ГПУ у цинка), что и приводит к ограниченной твердофазной растворимости цинка в меди. Результатом такого различия можно объяснить и разные знаки экстремумов на кривых $a=f(x)$ в этих системах. Если в системе Cu-Ni параметр “ a ” в результате образования кластеров образуют максимум, то в системе Cu-Zn знак экстремума меняется: параметр “ a ” в интервале 2-4 мольн. % Zn резко уменьшается. Можно предположить, что второй параметр “ c ” при этом растет, т.е. решетка в результате кластерообразования становится все более приближающейся к кристаллической структуре цинка.

СПИСОК ЛИТЕРАТУРЫ

1. Угай Я.А., Бондарев Ю.М., Гончаров Е.Г., Ховив А.М. // Изв. АН СССР. Неорган. материалы. – 1987. Т.23. – №12. – С.1945-1947.
2. Губенко А.Я. // Ж. Металлы. – 1997. – №6. – С.123-127.
3. Ю.М. Бондарев, Е.Г. Гончаров, В.Н. Ховив. // Ж. Конденсированные среды и межфазные границы. – 2004. Т.6. – №1 – С. 9-16.
4. Бондарев Ю.М. // Ж. Вестник ВГУ. Серия: Химия, Биология. -2000. №6. -С.64-67.
5. Мильвидский М.Г., Освенский В.Б. Структурные дефекты в моноокристаллах полупроводников. – М.: Металлургия, 1984. – 256 с.